

УДК 541.64 : 539(3+107)

**МЕХАНИЧЕСКИЕ СВОЙСТВА И МОРФОЛОГИЯ
БУТАДИЕН-СТИРОЛЬНЫХ БЛОК-СОПОЛИМЕРОВ
РАЗЛИЧНОГО СТРОЕНИЯ**

*H. С. Суркова, Г. Т. Ткаченко, Е. А. Сидорович,
Г. М. Толстопятов, А. И. Марей, Е. В. Кувшинский*

Динамическим механическим и электронно-микроскопическим методами исследовали бутадиенстирольные термоэластопласты различного строения. Установлено влияние числа блоков в полимерной цепи при фиксированном составе и молекулярном весе на свойства бутадиенстирольных блок-сополимеров. Произведена оценка минимальных размеров блоков, при которых блок-сополимер ведет себя как статистический сополимер. На трехблочных сополимерах с содержанием стирола 40 вес.% показано, что с увеличением молекулярного веса от $7 \cdot 10^4$ до $65 \cdot 10^4$ модуль упругости и модуль потерь уменьшаются, прочность на разрыв проходит через экстремум. Методом электронной микроскопии установлено, что в блок-сополимерах с молекулярным весом, изменяющимся от $7 \cdot 10^4$ до $17 \cdot 10^4$, формируются слойстые структуры. Увеличение молекулярного веса до $65 \cdot 10^4$ приводит к изменению характера надмолекулярных структур — переходу от слойстых структур к глобулярным. Способ приготовления образцов (из расплава и из раствора) значительно сказывается на механических свойствах и морфологии высокомолекулярных блок-сополимеров.

Бутадиенстирольные блок-сополимеры, являющиеся типичными представителями термоэластопластов, характеризуются сегрегационной двухфазной структурой [1—11]. Методами электронной микроскопии и малогоуглового рассеяния рентгеновых лучей установлена высокая степень регулярности их структуры [9—11]. Специфику строения этих полимеров отражает их необычное физико-механическое поведение.

Для того, чтобы изменять свойства таких полимеров в нужном направлении, требуется знать, как влияет на их физико-механическое поведение состав, количество блоков, молекулярный вес, условия получения образцов и какие при этом происходят структурные изменения.

В связи с вышеизложенным представлялось интересным исследовать в широком температурном интервале динамические механические свойства бутадиенстирольных термоэластопластов различного строения, а также провести совместное электронно-микроскопическое и физико-механическое исследования.

Образцы и методы исследования

Блок-сополимеры синтезировали полимеризацией смеси мономеров в растворе толуола в присутствии дилитийорганического катализатора. Изменяя содержание мономеров при постоянной дозировке катализатора, варьировали состав блок-сополимера, сохраняя постоянным молекулярный вес. Путем изменения дозировки катализатора при постоянном содержании мономеров получали полимеры с различным

молекулярным весом при фиксированном составе. Многоблочные сополимеры с чередующимися блоками синтезировали при многократном добавлении смеси мономеров.

После окончания полимеризации реакционную смесь дезактивировали этиловым спиртом. Полимер осаждали смесью осадителей спирт – ацетон и высушивали в вакууме до полного удаления летучих примесей. Микроструктуру полибутиденового части сополимеров определяли спектроскопическим методом: *чис-1,4*-звеньев – 43–45%, *транс-1,4* – 45%, 1,2-звеньев – 10–12%. Характеристики образцов приведены в таблице.

Образцы в виде пластин толщиной 1 мм готовили прессованием при 150° в течение 30 мин., образцы в виде пленок получали испарением 2%-ных растворов блок-сополимеров в толуоле.

Динамические механические свойства изучали на приборе маятникового типа [12] в условиях ударного растяжения в интервале температур –100–120°. Для этого предварительно охлажденный до –100° образец нагревали со скоростью 2 град/мин.

Характеристика образцов СБС

Образец, №	Количество блоков	Содержание стирола, вес. %	$M \cdot 10^{-4}$ (общий)	$M \cdot 10^{-4}$		Образец, №	Количество блоков	Содержание стирола, вес. %	$M \cdot 10^{-4}$		
				M_c	M_b				M_c	M_b	
1	3	40	7,0	1,40	4,20	8	3	50	15,0	3,75	7,50
2	3	40	11,5	2,30	6,90	9	3	40	8,0	1,60	4,80
3	3	40	17,0	3,40	10,20	10	7	40	8,0	0,80	1,60
4	3	40	32,0	7,00	18,00	11	11	40	8,0	0,53	0,96
5	3	40	65,0	13,00	39,00	12	19	40	8,0	0,32	0,53
6	3	30	15,0	2,25	10,50	13	39	40	8,0	0,16	0,25
7	3	40	15,0	3,00	9,00						

По амплитудам отклонения маятника до и после удара рассчитывали тангенс угла механических потерь $\operatorname{tg} \delta$. Динамический модуль упругости E определяли по величине максимальной деформации, измеряемой с помощью индуктивного датчика.

Морфологические исследования ультратонких срезов толщиной ~800 Å проводили с помощью электронного микроскопа УЕМ-6 [13]. Перед получением срезов образцы контрастировали четырехокисью озимия по методике, разработанной Като [14]. С целью облегчения проникновения четырехокиси озимия (в дополнение к методике Като) образцы в течение нескольких часов выдерживали в ацетоне (для набухания). С поверхности пленок, полученных из растворов, в ряде случаев снимали одноступенчатые хромово-угольные реплики.

Результаты и их обсуждение

Для прессованных пластин образцов СБС 6–8 (рис. 1) характерно наличие двух переходов, один из которых соответствует стеклованию полибутиденовых доменов, другой – полистирольных. Областям стеклования – размягчения отвечают участки резкого изменения модуля упругости E , модуля потерь E'' и максимумы на температурной зависимости тангенса угла механических потерь $\operatorname{tg} \delta$. Увеличение содержания стирола в сополимере, соответствующее росту молекулярного веса стирольного блока от $M_c=22\,500$ до $37\,500$ и падению молекулярного веса бутадиенового блока от $M_b=105\,000$ до $75\,000$ (таблица), приводит к возрастанию почти на порядок модуля упругости (рис. 1, *a*) и модуля потерь (рис. 1, *b*), удвоению $\operatorname{tg} \delta_{\max}$ высокотемпературного («полистирольного») и к уменьшению в четыре раза $\operatorname{tg} \delta_{\max}$ низкотемпературного («полибутиденового») переходов (рис. 1, *c*). Температурное положение областей стеклования остается практически неизменным. Существование двух переходов на температурных зависимостях динамических механических характеристик обязано двухфазной структуре сополимеров. Между областями стеклования полистирольных и полибутиденовых сегрегатов расположена область, в пределах которой сополимеры ведут себя подобно вулканизатам.

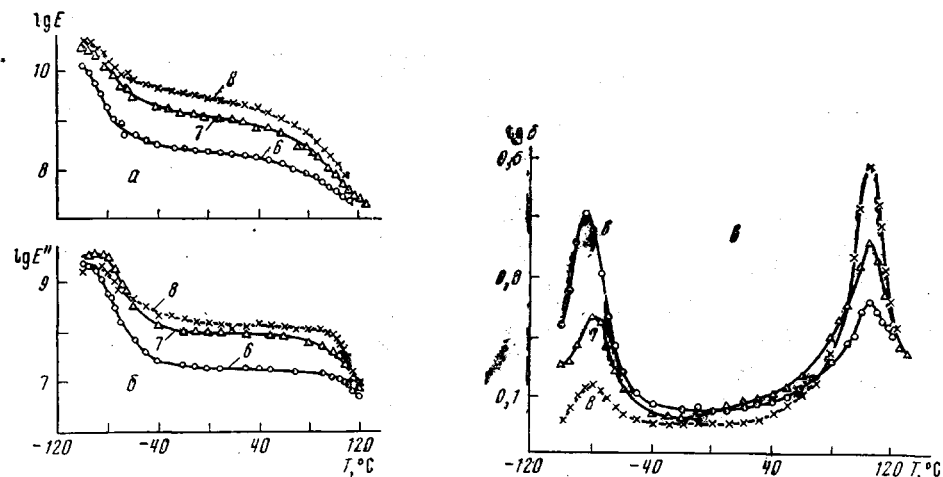


Рис. 1. Зависимость модуля упругости E (а), модуля потерь E'' (б) и $\operatorname{tg} \delta$ (в) от температуры для образцов 6–8. Здесь и на рис. 4, 7, 10 цифры у кривых – номера образцов в таблице

Из рис. 2 видно, что блок-сополимеры в невулканизированном состоянии обладают достаточно высокими механическими показателями. Увеличение содержания стирола в сополимере приводит к росту прочности на разрыв σ_p и к падению относительного удлинения при разрыве ε .

Своебразие сегрегационной структуры бутадиенстирольных блок-сополимеров проявилось при изучении влияния предварительного растяжения на динамические механические свойства*. С увеличением степени предварительного растяжения $\operatorname{tg} \delta$ в области низкотемпературного перехода и между двумя переходами увеличивается, в то время как $\operatorname{tg} \delta_{\max}$ высокотемпературного перехода и динамический модуль уменьшаются (рис. 3). Полученные данные можно объяснить тем, что с увеличением степени растяжения λ уменьшается общая доля стирольных блоков, связанных в домены, придающие полимеру жесткость. Некоторые из доменов, вероятно, разрушаются, вследствие чего в блок-сополимере ухудшается сегрегационное разделение фаз. В случае же вулканизатов (полимеров с пространственной сеткой, образованной химическими спивками) обычно наблюдается понижение потерь и повышение модуля с увеличением λ .

Представляло интерес проследить влияние величины блоков на механические свойства блок-сополимеров и определить размеры блоков, при которых они начинают вести себя подобно статистическим сополимером. С этой целью исследовали динамические механические свойства блок-сополимеров (прессованные пластины) с разным числом блоков в полимерной цепи. Концевые блоки во всех случаях были

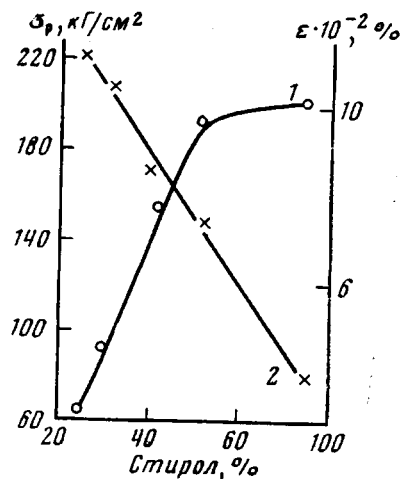


Рис. 2. Зависимость разрывной прочности σ_p (1) и относительного удлинения при разрыве ε (2) от содержания стирола в СБС с $M=15 \cdot 10^4$, 23°, скорость растяжения 500 мм/мин

* Образец в виде полоски размером 50×10×1 мм, выгруженный из отпрессованной пластины блок-сополимера образца 8, нагревали до 80°, растягивали, затем охлаждали, после чего производили измерения динамических механических параметров при постепенно повышающейся температуре.

стирольными, а число блоков n составляло 3, 7, 11, 39, т. е. исследовали многоблочники типа СБС, СБСБСБС и т. д.; размеры блоков менялись в пределах $M_c = 16\ 000 - 1600$, $M_b = 48\ 000 - 2530$ (таблица). Из рис. 4 видно, что увеличение числа блоков (т. е. уменьшение их размеров) приводит к падению E и E'' , а также к сближению низко- и высокотемпературного переходов. При этом $\text{tg } \delta_{\max}$ первого перехода растет, а второго — понижается. Наиболее жесткими оказываются трехблочники. σ_p и ε падают с увеличением n (рис. 5). Наиболее резкое изменение механических свойств блок-сополимеров наблюдается при уменьшении размеров блоков ниже $M \sim 10\ 000 - 20\ 000$.

Изменение механических свойств при уменьшении размеров блоков, вероятнее всего, связано с нарушением упорядоченного сегрегационного

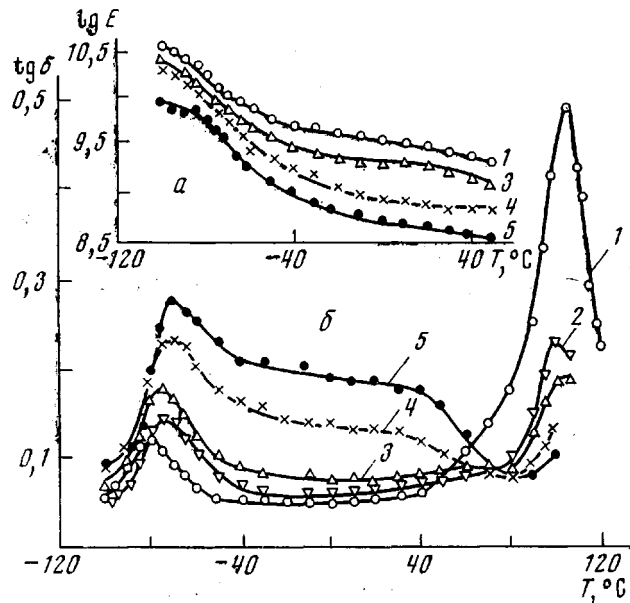


Рис. 3. Зависимость $\lg E$ (а) и $\text{tg } \delta$ (б) от температуры для образца 8 при степени предварительного растяжения $\lambda=1$ (1); 1,42 (2); 1,82 (3); 2,4 (4) и 4 (5)

строения сополимеров. Возможно, оно частично обусловлено повышением содержания в полимерной цепи переходных областей, т. е. молекулярных участков со статистическим распределением бутадиеновых и стирольных звеньев.

Увеличение количества блоков в цепи, т. е. уменьшение их размеров, очевидно, должно привести к сближению переходов и, в конечном счете, к их слиянию на переход, характерный для статистического сополимера.

Экстраполяция температур, фиксирующих положение $\text{tg } \delta_{\max}$ в сторону возрастания n (рис. 6), показывает, что блок-сополимер ведет себя подобно статистическому сополимеру при $n \sim 80$ (т. е. при степенях полимеризации стирольного блока ~ 7 , полибутадиенового ~ 20), при температуре $T_{1,2} \approx -20^\circ$, что находится в соответствии с данными для статистических сополимеров с содержанием стирола 40%.

На температурных зависимостях E и E'' в области каждого из переходов наблюдаются перегибы (рис. 7, а, б). На кривых модуля потерь (рис. 7, б) ниже -80° намечается максимум. Видна тенденция к понижению температуры высокотемпературного перехода при уменьшении молекулярного веса блок-сополимеров как на кривых для E , так и E'' . В области температур, лежащей между двумя переходами, оба модуля падают с увеличением молекулярного веса. Температурные зависимости $\text{tg } \delta$ ха-

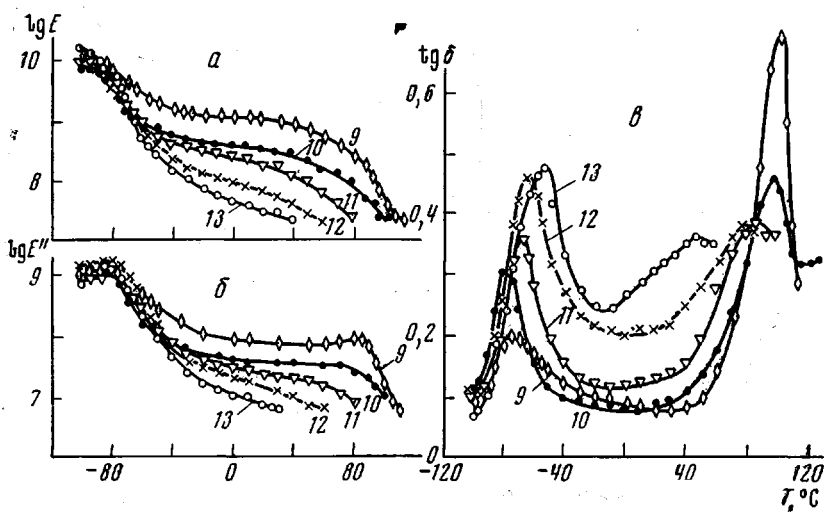


Рис. 4

Рис. 4. Зависимость $\lg E$ (а); $\lg E''$ (б) и $\operatorname{tg} \delta$ (в) от температуры для образцов 9–13

Рис. 5. Зависимость σ_p (1) и ε (2) от числа блоков n в полимерной цепи СБС с $M=8 \cdot 10^4$

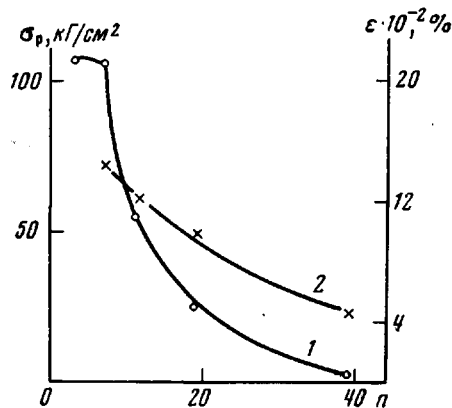


Рис. 5

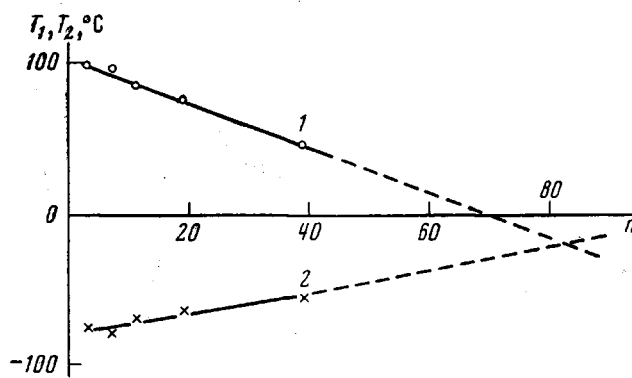


Рис. 6. Зависимость температуры высокотемпературного (1) и низкотемпературного (2) переходов от числа блоков в полимерной цепи ($M=8 \cdot 10^4$, 40% стирола)

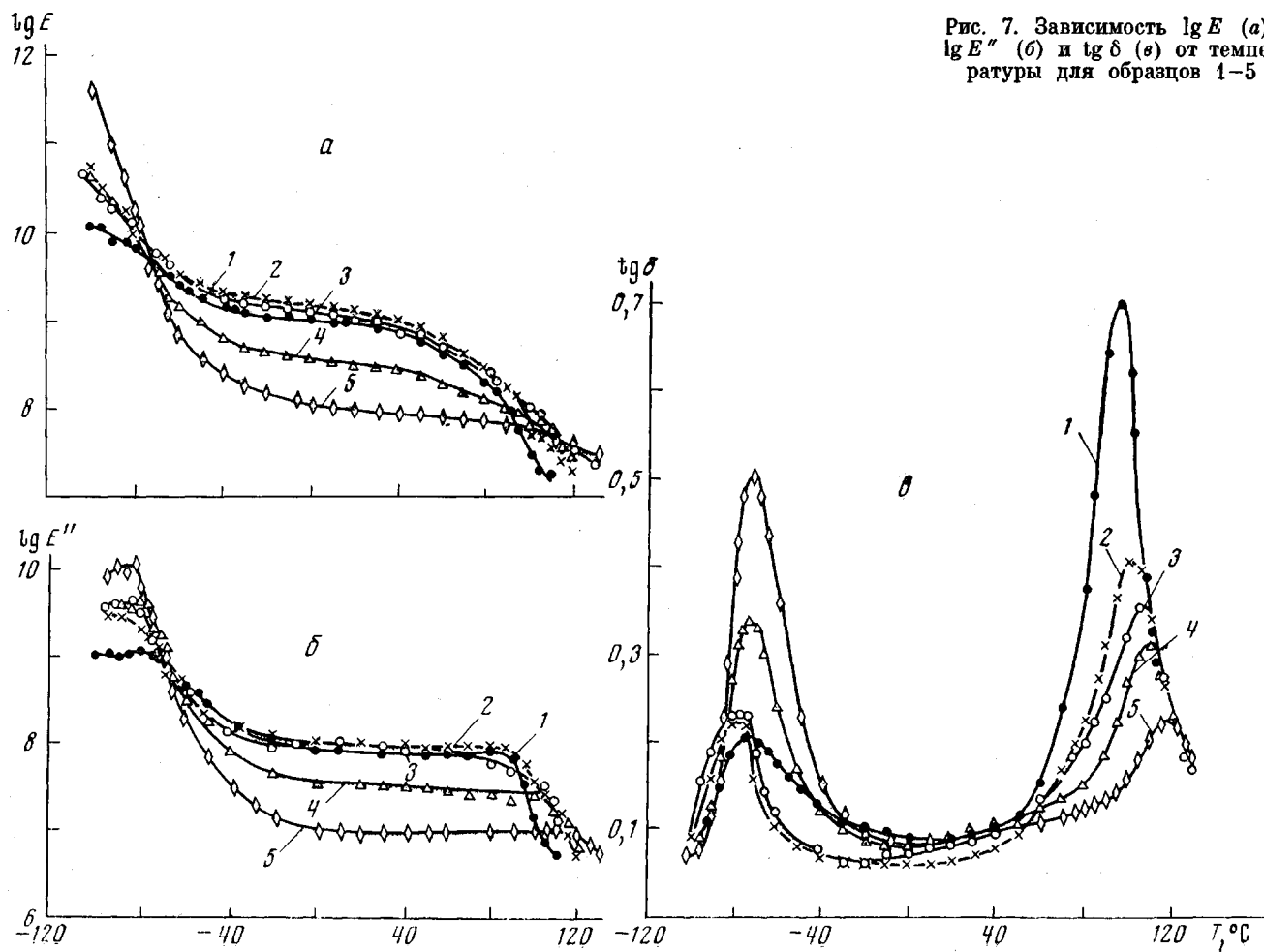


Рис. 7. Зависимость $\lg E$ (а), $\lg E''$ (б) и $\operatorname{tg} \delta$ (в) от температуры для образцов 1–5

рактеризуются двумя максимумами (рис. 7, в). Увеличение молекулярного веса приводит к возрастанию величины низкотемпературного ($\text{tg } \delta_{\max}$)₁ и к падению высокотемпературного ($\text{tg } \delta_{\max}$)₂. Положение последнего смещается в сторону высоких температур.

σ_p с изменением молекулярного веса носит экстремальный характер: она неуклонно падает (рис. 8). Максимальные σ_p получены для образцов с $M=15 \cdot 10^4 - 17 \cdot 10^4$. Как увеличение, так и уменьшение молекулярного веса приводят к резкому падению σ_p . Для сравнения укажем, что для гомополимеров и статистических сополимеров σ_p обычно возрастает с увеличением молекулярного веса (равно как и динамический модуль).

Результаты электронно-микроскопических исследований ультратонких срезов тех же образцов блок-сополимеров представлены на рис. 9, а–д. Темные области на микрофотографиях соответствуют полибутадиеновым сегрегатам (OsO_4 взаимодействует с двойными связями полибутадиеновых блоков). Можно видеть, что для образцов 1–3 с молекулярными весами $7 \cdot 10^4 - 17 \cdot 10^4$ характерна слоистая структура. С увеличением молекулярного веса ширина слоев возрастает*, что сопровождается ростом σ_p (рис. 8). Дальнейшее увеличение молекулярного веса приводит к значительному изменению характера структурообразования. Так, в образцах 4 с $M=32 \cdot 10^4$ наблюдается заметное нарушение слоистой структуры – границы и формы узоров нечетки, полибутадиеновые блоки местами выделены в отдельные глобулы (рис. 9, г). Увеличение M до $65 \cdot 10^4$ (образец 5) приводит к вырождению слоев, состоящих из бутадиеновых блоков, и замене их на глобулы (рис. 9, д). Это изменение морфологии блок-сополимеров соответствует резкому снижению σ_p .

Сегрегация блоков, казалось бы, должна быть более полной и совершенной у образцов, полученных испарением растворов, в связи с чем было проведено исследование механических свойств и морфологии таких образцов.

Из рис. 10 видно, что способ приготовления образцов оказывается только на свойствах высокомолекулярного блок-сополимера. У образцов 5, полученных из 2%-ного раствора толуола, по сравнению с теми же отпрессованными образцами динамический E и E'' выше; ($\text{tg } \delta_{\max}$)₁ меньше, а ($\text{tg } \delta_{\max}$)₂ больше (рис. 10, в), прочность на разрыв повышена (рис. 8).

Результаты электронно-микроскопического исследования, представленные на рис. 9, е–и, показывают, что способ приготовления образцов 1–3 не влияет на надмолекулярную структуру. Можно утверждать, что фазовое разделение как отлитых из раствора образцов, так и отпрессованных близко. Лишь для блок-сополимеров высокого молекулярного веса (образец 5) способ приготовления имеет существенное значение. Из рис. 9, и видно, что в пленках, полученных из раствора, образуются полибутадиеновые глобулы в ~ 10 раз большего размера, чем в отпрессованных образцах. Эти данные свидетельствуют о том, что условия фазового разделения в растворе для высокомолекулярных блок-сополимеров более благоприятны, чем в расплаве.

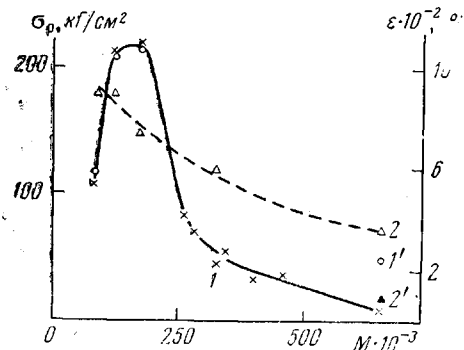


Рис. 8. Зависимость σ_p (1, 1') и E (2, 2') от M при 23° и скорости растяжения $500 \text{ мм}/\text{мин}$; 1, 2 – прессование, 1', 2' – из раствора

* Это заключение было сделано в результате изучения большого числа срезов.

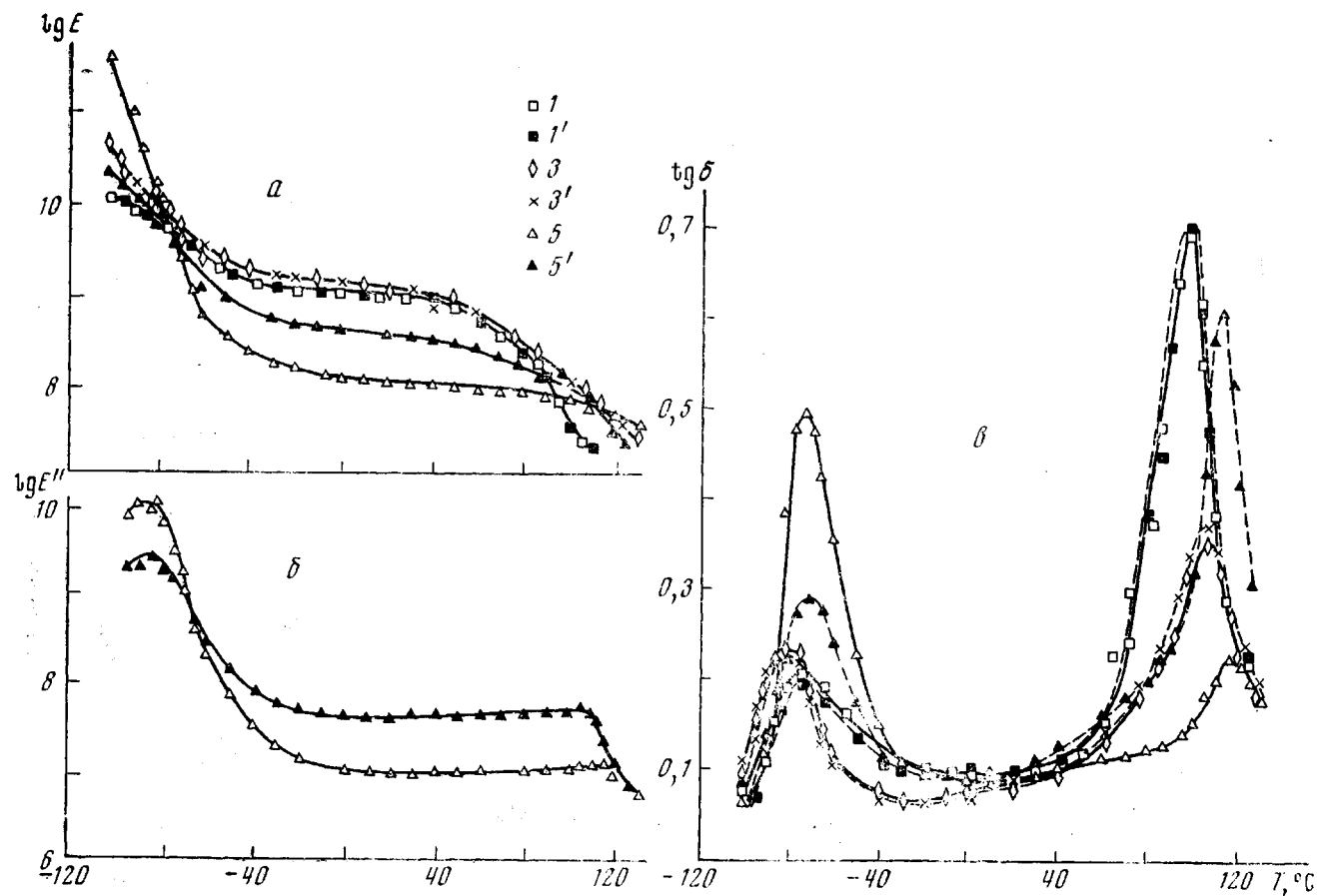


Рис. 10 Зависимость E (а); E'' (б) и $\operatorname{tg} \delta$ (в) от температуры для образцов 1, 3, 5, полученных при прессовании (1, 3, 5) и из растворов ($1', 3', 5'$)

К статье Н. С. Суркова и др.

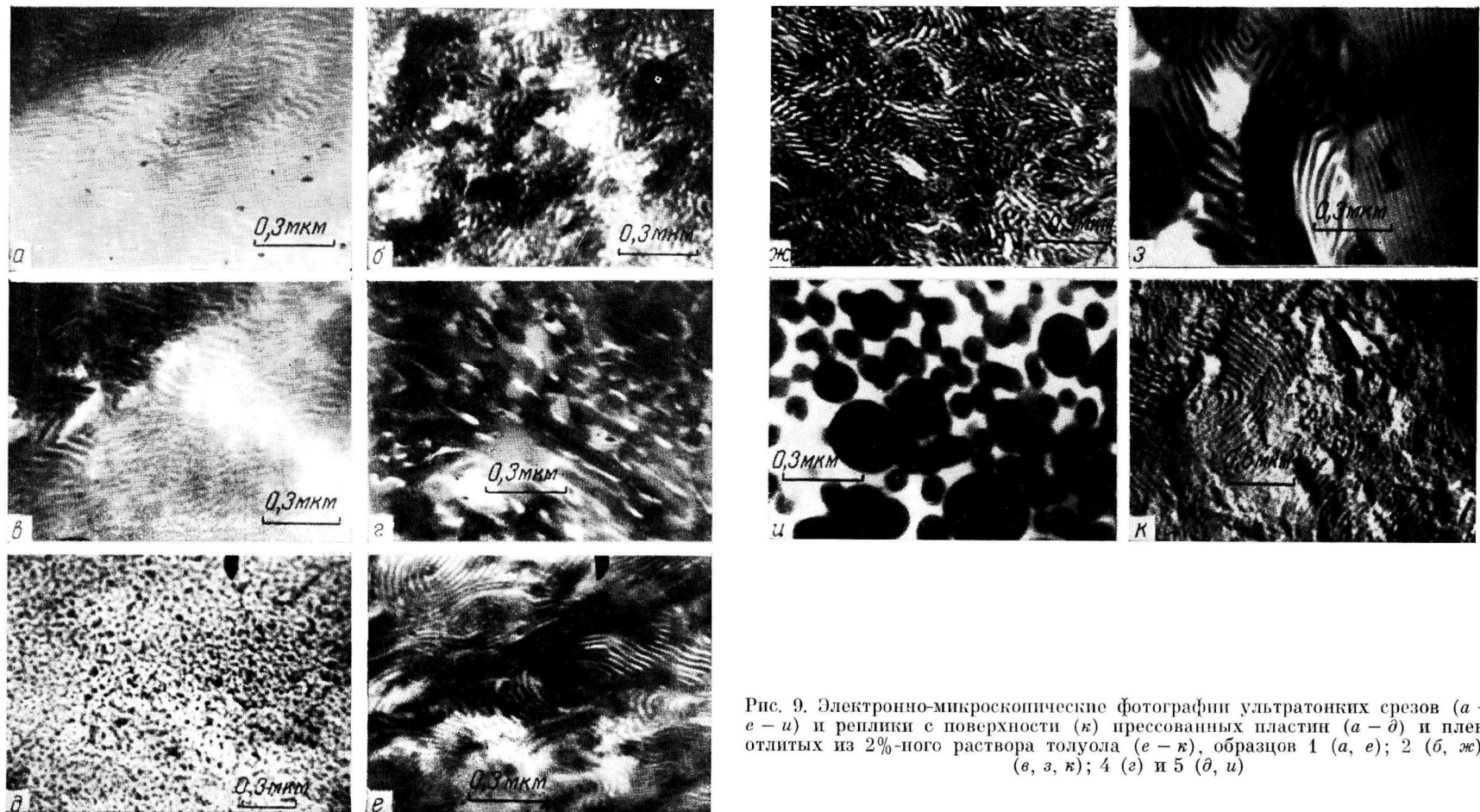


Рис. 9. Электронно-микроскопические фотографии ультратонких срезов (*a* – *d*, *e* – *h*) и реплики с поверхности (*k*) прессованных пластин (*a* – *d*) и пленок, отлитых из 2%-ного раствора толуола (*e* – *k*), образцов 1 (*a*, *e*); 2 (*b*, *f*); 4 (*c*) и 5 (*d*, *h*)

Полученные результаты позволяют объяснить влияние молекулярного веса на свойства блок-сополимеров. Увеличение последнего ухудшает разделение фаз. В первую очередь, видимо, выделяется полибутадиеновая фаза. Матрицей всегда служит оставшаяся смесь полистирольных и полибутадиеновых блоков. Механические характеристики, прежде всего отражают состав матрицы. Уменьшение динамического модуля и разрывной прочности блок-сополимеров с ростом молекулярного веса обусловлено увеличением объема смешанной фазы за счет повышения содержания в ней бутадиеновых блоков. Улучшение условий сегрегации в блок-сополимере высокого молекулярного веса (при получении пленок из раствора в толуоле) приводит к более высокой степени разделения полистирольных и полибутадиеновых блоков. Это, в свою очередь, вызывает рост динамического модуля упругости, прочности на разрыв, $(\text{tg } \delta_{\max})_2$ и уменьшение $(\text{tg } \delta_{\max})_1$.

Строгое количественное истолкование обнаруженных закономерностей требует проведения более углубленного исследования.

Всесоюзный научно-исследовательский
институт синтетического каучука
им. С. В. Лебедева

Поступила в редакцию:
28 VI 1972

ЛИТЕРАТУРА

1. C. W. Childers, G. Kraus, Rubber Chem and Technol., 40, 1183, 1967.
2. G. Kraus, C. W. Childers, J. T. Gruver, J. Appl. Polymer Sci., 11, 1581, 1967.
3. E. T. Bishop, S. Davidson, J. Polymer Sci., C26, 59, 1969.
4. E. Fisher, J. F. Henderson, Rubber Chem. and Technol., 40, 1373, 1967.
5. E. Fisher, J. Macromolec. Chem., A2, 1285, 1968.
6. А. А. Коротков, Н. Ф. Ковалев, Г. Н. Петров, Е. А. Сидорович, Каучук и резина, 1967, № 12, 6.
7. R. Zelinsky, C. W. Childers, Rubber Chem. and Technol., 41, 161, 1968.
8. G. Holeen, E. T. Bishop, H. R. Legge, J. Polymer Sci., C26, 37, 1969.
9. Masato Matsuo, Taku Ueno, Hiroshi Horino, Saynri Cheygo, Harumi Asai, Polymer, 9, 425, 1968.
10. M. Matsuo, T. Ueno, H. Asai, Polymer, 10, 79, 1969.
11. A. Keller, E. Pedemonte, F. Willmonth, Nature, 225, 5232, 538, 1970.
12. Е. В. Кувшинский, Е. А. Сидорович, Ж. техн. физики, 26, 878, 1956.
13. Г. Т. Ткаченко, Каучук и резина, 1966, № 4, 52.
14. K. Kato, J. Electron. Micr., 14, 220, 1965; 17, 29, 1968.